

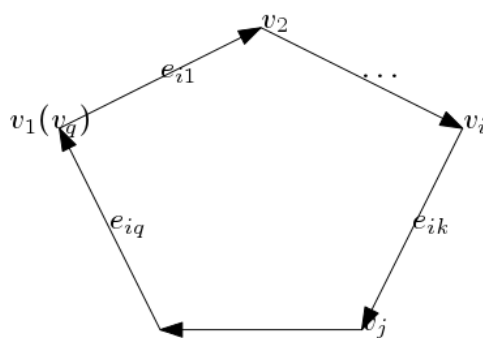
1

基本概念

道路与回路

2.1 道路与回路

定义 2.1.1. 有向图 $G=(V, E)$ 中, 若边序列 $P=(e_{i1}, e_{i2}, \dots, e_{iq})$, 其中 $e_{ik}=(v_l, v_j)$ 满足 v_l 是 e_{ik-1} 的终点, v_j 是 e_{ik+1} 的始点, 就称 P 是 G 的一条**有向道路**。如果 e_{iq} 的终点也是 e_{i1} 的始点, 则称 P 是 G 的一条**有向回路**。



一条有向的回路

例 2.1.1. 下图中, 边序列 (e_5, e_4, e_5, e_7) 是有向道路, $(e_5, e_4, e_5, e_7, e_3)$ 是有向回路。 (e_5, e_4, e_1, e_2) 是简单有向道路, $(e_5, e_4, e_1, e_2, e_3)$ 是简单有向回路。 (e_1, e_2) 是初级有向道路, (e_1, e_2, e_3) 是初级有向回路。

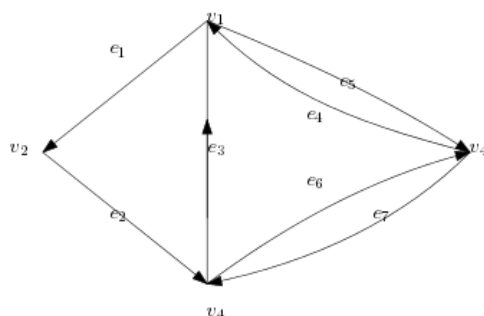


图 2.1

定义 2.1.2. 无向图 $G=(V, E)$ 中, 若点边交替序列 $P=(v_{i1}, e_{i1}, v_{i2}, e_{i2}, \dots, e_{iq-1}, v_{iq})$ 满足 v_{ik}, v_{ik+1} 是 e_{ik} 的两个端点, 则称 P 是 G 中的一条链, 或道路。如果 $v_{iq} = v_{i1}$, 则称 P 是 G 中的一个圈, 或回路。如果 P 中没有重复出现的边, 称之为**简单道路**或**简单回路**, 若其中结点也不重复, 又称之为**初级道路**或**初级回路**。

思考非初级有向道路的简单有向道路有什么特征?

例 2.1.2. 下图中边序列 (e_4, e_5, e_4, e_6) 是道路, $(e_4, e_5, e_4, e_6, e_3)$ 是回路; (e_4, e_5, e_1, e_2) 是简单道路, $(e_4, e_5, e_1, e_2, e_3)$ 是简单回路; (e_1, e_2) 是初级道路, (e_1, e_2, e_3) 是初级回路。

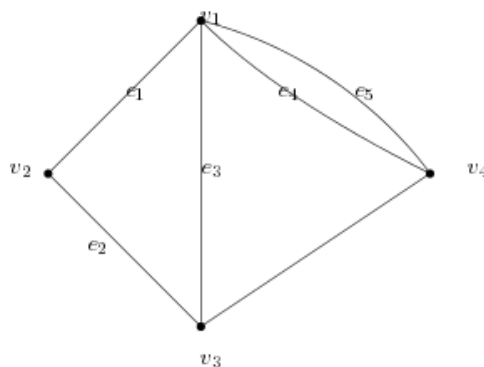


图 2.2

例 2.1.3. 设 C 是简单图 G 中含结点数大于 3 的一个初级回路, 如果结点 v_i 和 v_j 在 C 中不相邻, 而边 $(v_i, v_j) \in E(G)$, 则称 (v_i, v_j) 是 C 的一条弦。若对每一个 $v_k \in V(G)$, 都有 $d(v_k) \geq 3$, 则 G 中必含带弦的回路。

证明: 在 G 中构造一条极长的初级道路 $P = (e_{i1}, e_{i2}, \dots, e_{iq})$, 不妨设 $e_{i1} = (v_0, v_1)$, $e_{il} = (v_{l-1}, v_l)$ 。由于 P 是极长的初级道路, 所以 v_0 和 v_1 的邻接点都在该道路 P 上。由已知条件, $d(v_0) \geq 3$, 不妨设 $\Gamma(v_0) = v_1, v_{ij}, v_{ik}, \dots$ 。其中 $1 < j < k$, 这时 $(v_0, v_1, \dots, v_i, v_0)$ 是一条初级回路, 而 (v_0, v_{ij}) 就是该回路中的一条弦。

例 2.1.4. 设 C 是简单图 G 中含结点数大于 3 的一个初级回路, 如果结点 v_i 和 v_j 在 C 中不相邻, 而边 $(v_i, v_j) \in E(G)$, 则称 (v_i, v_j) 是 C 的一条弦。若对每一个 $v_k \in V(G)$, 都有 $d(v_k) \geq 3$, 则 G 中必含带弦的回路。

证明: 在 G 中构造一条极长的初级道路 $P = (e_{i1}, e_{i2}, \dots, e_{iq})$, 不妨设 $e_{i1} = (v_0, v_1)$, $e_{il} = (v_{l-1}, v_l)$ 。由于 P 是极长的初级道路, 所以 v_0 和 v_1 的邻接点都在该道路 P 上。由已知条件, $d(v_0) \geq 3$, 不妨设 $\Gamma(v_0) = v_1, v_{ij}, v_{ik}, \dots$ 。其中 $1 < j < k$, 这时 $(v_0, v_1, \dots, v_{ik}, v_0)$ 是一条初级回路, 而 (v_0, v_{ij}) 就是该回路中的一条弦。

例 2.1.5. 设 $G = (V, E)$ 是无向图, 如果 $V(G)$ 可以划分为子集 X 和 Y , 使得对所有的 $e = (u, v) \in E(G)$, u 和 v 都分属于 X 和 Y , 则称 G 是二分图。

证明: 如果二分图 G 中存在回路, 则它们都是由偶数条边组成的。

证明: 设 C 是二分图 G 的任一回路, 不妨设 $v_0 \in X$ 是 C 的始点, 由于 G 是二分图, 所以沿回路 C 必须经过偶数条边才能达到某结点 $v_i \in X$, 因而只有经过偶数边才能回到 v_0

定义 2.1.3. 设 G 是无向图, 若 G 的任意两结点之间都存在道路, 就称 G 是**连通图**, 否则称为**非连通图**。

如果 G 是有向图, 不考虑其边的方向, 即视之为**无向图**, 若它是连通的, 则称 G 是连通图。

若连通子图 H 不是 G 的任何连通子图的真子图, 则称 H 是 G 的**极大连通子图**, 或称**连通支**。显然 G 的每个连通支都是它的**导出子图**。

例 2.1.6. 图 2.1 和图 2.2 都是连通图, 图 2.3 是非连通图。其中 (a) 有两个连通支, 它们的结点集分别是 v_1, v_2, v_3 和 v_4, v_5 , (b) 有三个连通支, 其结点集是 v_1, v_2, v_3 , v_4, v_5 和 v_6 。

例 2.1.7. 图 2.4 是连通图, 它不含回路, 而且在任意两结点之间都只有唯一的一条初级道路。这种图称为**树**, 它是含边数最少的连通图。

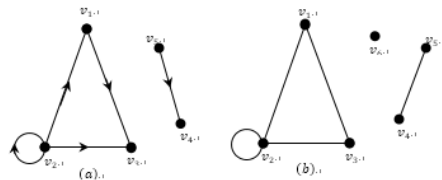


图 2.3

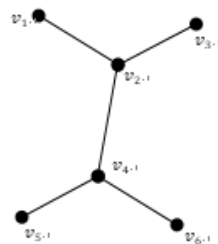


图 2.4

例 2.1.8. 设 G 是简单图，证明当 $m=1/2 (n-1)(n-2)$ 时， G 是连通图。

证明：假定 G 是非连通图，则至少含有 2 个连通支。设分别为 $G_1 = (V_1, E_1)$ ， $G_2 = (V_2, E_2)$ 。其中 $|V_1(G_1)| = n_1$ ， $|V_2(G_2)| = n_2$ 。
 $n_1 + n_2 = n$ 。由于 G 是简单图，因此

$$|E_1(G_1)| \leq 1/2 n_1(n_1 - 1)$$

$$|E_2(G_2)| \leq 1/2 n_2(n_2 - 1)$$

$$m \leq 1/2 n_1(n_1 - 1) + 1/2 n_2(n_2 - 1)$$

由于 $n_1 \leq n-1$ ， $n_2 \leq n-1$ ，

所以

$$m \leq 1/2(n-1)(n_1 - 1 + n_2 - 1)$$

$$= 1/2(n-1)(n-2)$$

与已知条件矛盾，故 G 是连通图。

2.2 道路与回路的判定

通常可以利用邻接矩阵或搜索法判定某个图 G 的两结点间是否存在道路，或者判定它是否连通。首先介绍 **邻接矩阵**的判定方法。

设 $A = (a_{ij})_{n \times n}$ 是 G 的邻接矩阵。由 A 的定义, $a_{ij} = 1$ 表示 $(v_i, v_j) \in E(G)$, 即 v_i 可以通过某条边 e 到达 v_j , 或者说 G 中有道路从 v_i 到 v_j 。根据矩阵乘法, 设 $A^2 = (a_{ij}^{(2)})$, 有

$$a_{ij}^{(2)} = \sum_{k=1}^n a_{ik} \cdot a_{kj}$$

$a_{ij}^{(2)} \neq 0$ 当且仅当存在 k , 使 $a_{ik} = a_{kj} = 1$ 。也就是说, 如果 G 中存在结点 v_k , 满足 $(v_i, v_k), (v_k, v_j) \in E(G)$, 即经过 2 条边 $(v_i, v_k), (v_k, v_j)$, v_i 可以到达 v_j 时, $a_{ij}^{(2)} \neq 0$ 。同理, $A^l(l \geq 1)$ 中的元素 $a_{ij}^{(l)} \neq 0$ 表示了 v_i 可以经过 l 条边到达 v_j 。因此令

$$P = A + A^2 + \cdots + A^n,$$

如果 $p_{ij} = t$, 说明 v_i 有 t 条道路可以到达 v_j 。若 $p_{ij} = 0$, 即 n 步之内 v_i 不能到达 v_j , 则在 G 中不存在 v_i 到 v_j 的路。否则, 若 v_i 经过 $l (1 \leq l \leq n)$ 步可达 v_j , 由**抽屉原理**, 该道路上一定存在重复出现的结点 v_k , 而 v_k 之间的这段路 C 是一个回路。删去这段回路 v_i 仍然可达 v_j 。由于 G 中只存在 n 个不同的结点, 所以只要 v_i 有道路到 v_j , 一定有 $p_{ij} > 0$ 。

在许多实际问题中, 往往只要求了解 v_i 与 v_j 之间是否存在道路。对此可以采用逻辑运算的方法, 即

$$a_{ij}^{(l)} = \bigvee_{k=1}^n (a_{ik}^{(l-1)} \wedge a_{kj}), l = 2, 3, \cdots, n$$

相应地,

$$P = A \vee A^2 \vee \cdots \vee A^n$$

就是图 G 的道路矩阵。

用上述方法求 G 的道路矩阵, 计算复杂性为 $O(n^4)$ 。以下介绍的 Warshall 算法是一个更好的方法, 其计算复杂性是 $O(n^3)$ 。

Warshall 算法

begin

1. $P \leftarrow A$,
2. for $i=1$ to n do

3. for j=1 to n do
 4. for k=1 to n do
 $p_{jk} \leftarrow p_{jk} \vee (p_{jk} \wedge p_{ik})$ 。

例 2.2.1. 采用 Warshall 算法计算图 2.5 道路矩阵的过程是：

$$P \leftarrow \begin{bmatrix} 0 & 1 & 1 & 0 & 0 \\ 0 & 0 & 1 & 1 & 0 \\ 0 & 0 & 0 & 0 & 1 \\ 0 & 0 & 0 & 0 & 0 \\ 1 & 0 & 0 & 1 & 0 \end{bmatrix}$$

$$P(i=1) = \begin{bmatrix} 0 & 1 & 1 & 0 & 0 \\ 0 & 0 & 1 & 1 & 0 \\ 0 & 0 & 0 & 0 & 1 \\ 0 & 0 & 0 & 0 & 0 \\ 1 & 1 & 1 & 1 & 0 \end{bmatrix}$$

$$P(i=2) = \begin{bmatrix} 0 & 1 & 1 & 1 & 0 \\ 0 & 0 & 1 & 1 & 0 \\ 0 & 0 & 0 & 0 & 1 \\ 0 & 0 & 0 & 0 & 0 \\ 1 & 1 & 1 & 1 & 0 \end{bmatrix}$$

$$P(i=3) = \begin{bmatrix} 0 & 1 & 1 & 1 & 1 \\ 0 & 0 & 1 & 1 & 1 \\ 0 & 0 & 0 & 0 & 1 \\ 0 & 0 & 0 & 0 & 0 \\ 1 & 1 & 1 & 1 & 1 \end{bmatrix}$$

$$P(i=4) = P(i=3),$$

$$P(i=5) = \begin{bmatrix} 1 & 1 & 1 & 1 & 1 \\ 1 & 1 & 1 & 1 & 1 \\ 1 & 1 & 1 & 1 & 1 \\ 0 & 0 & 0 & 0 & 0 \\ 1 & 1 & 1 & 1 & 1 \end{bmatrix}$$

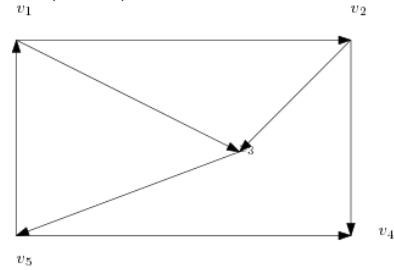


图 2.5

定理 2.2.1. Warshall 算法的结果是图 G 的道路矩阵。

证明：该定理的严格证明需要对三层循环分别使用归纳法。现只证其最外层循环。

基始：当 $i=1$ 时，

$$p_{jk}^{(1)} = p_{jk} \vee (p_{j1} \wedge p_{1k}), k = 1, 2, \dots, n; j = 1, 2, \dots, n$$

$p_{jk}^{(1)} = 1$ 当且仅当 $p_{jk} = 1$ 或 $p_{j1} = p_{1k} = 1$ ，其中 $p_{jk} = 1$ 表明 v_j 直接可达 v_k ， $p_{j1} = p_{1k} = 1$ 表明 v_j 直接经过 v_1 可达 v_k 。因此 $p_{jk}^{(1)} = 1$ 当

且仅当结点集 v_j, v_1, v_k 之间有 v_j 到 v_k 的路。

$i=2$ 时, $p_{jk}^{(2)} = p_{jk}^{(1)}(p_{j2}^{(1)}p_{2k}^{(1)})$, $k = 1, 2, \dots, n$; $j = 1, 2, \dots, n$ 。 $p_{jk}^{(2)} = 1$ 当且仅当 $p_{jk}^{(1)} = 1$ 或 $p_{j2}^{(1)} = p_{2k}^{(1)} = 1$, 其中 $p_{jk}^{(1)} = 1$ 表明结点集 v_j, v_1, v_k 之间有 v_j 到 v_k 的道路; $p_{j2}^{(1)}$ 和 $p_{2k}^{(1)}$ 为 1 表明 v_j, v_1, v_2, v_k 之间 v_j 有必通过 v_2 到达 v_k 的道路, 因此, $p_{jk}^{(2)} = 1$ 当且仅当结点集 v_j, v_1, v_2, v_k 中有 v_j 到 v_k 的道路。

设 $i=n-1$ 时, $p_{jk}^{(n-1)} = 1$ 当且仅当结点集 $v_j, v_1, v_2, \dots, v_{n-1}, v_k$ 之中有 v_j 到 v_k 的道路。

则 $i=n$ 时, $p_{jk}^{(n)} = p_{jk}^{(n-1)} \vee (p_{jn}^{(n-1)} \wedge p_{nk}^{(n-1)})$, $k = 1, 2, \dots, n$; $j = 1, 2, \dots, n$ 。由归纳假设, $p_{jk}^{(n-1)} = 1$ 表明结点集 $v_j, v_1, v_2, \dots, v_{n-1}, v_k$ 中有 v_j 到 v_k 的路, $p_{jn}^{(n-1)} = p_{nk}^{(n-1)} = 1$ 表明结点集 $v_j, v_1, v_2, \dots, v_{n-1}, v_k$ 中 v_j 有通过 v_n 到达 v_k 的道路。因此, $p_{jk}^{(n)} = 1$ 即是结点集 $v_j, v_1, \dots, v_n, v_k$ 之中有 v_j 到 v_k 的道路。

采用搜索的方法判断 G 中某一结点 v_0 到另一结点 v_j 是否存在道路经常更加方便。常用的搜索法有广探法 (Breadth First Search) 和深探法 (Depth First Search)。

广探法 (BFS)是从 G 的任一结点 v_0 开始, 找它的直接后继集 $+(v_0)$, 记为 A_1 , 然后对 A_1 中的每一结点分别找它们的直接后继集, 这些直接后继集的并记为 A_2 。依此类推, 直至达到目的。为了避免结点的重复搜索, 可以首先对全部结点都给一个标记“0”, 当 v_i 被搜索到时, 如果其标记为 0, 则 v_i 进入直接后继集, 同时标记改为 1, 否则由于 v_i 已被搜索因此不再进入直接后继集。

2.3 哈密尔顿回路

2.3.1 哈密尔顿回路的引入

一个包含一个无向图中所有的点的初级回路被称作**哈密尔顿回路** (Hamilton Cycle)。这源于 1857 年 Sir William Hamilton 发明的一种游戏——遍历一个正十二面体, 不能经过一个点两次。一个含有哈密尔顿回路的图称作**哈密尔顿图** (Hamiltonian)。事实上, 在哈密尔顿之前, 1759 年, 欧拉就已经研究了在一个国际象棋棋盘上骑士的遍历问题 (Knight's Tour on a Chess Board) (图 a 给出了一个解)。如果我们对旅行商问题再加上一重限制, 两个城市之间的旅行费用只有 1 和 ∞ (也就是说不可能

经过这条边)，那么这个 TSP 问题就变成了这个图中所有的旅行费用为 1 的边中是否存在一条哈密顿回路。然而，直到现在，即使这种 TSP 问题的特殊情况仍然没有解决：没有有效算法构造图中的哈密顿回路，虽然是否真的有这样的算法也不知道。

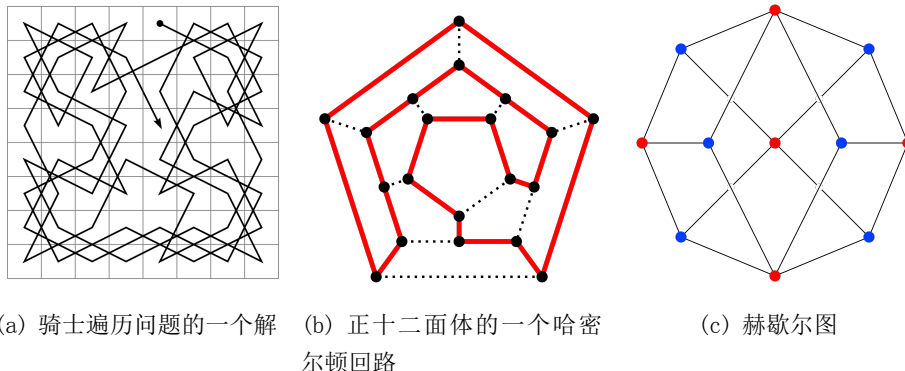


图 2.6: 正十二面体图 (图 b) 是一个哈密顿图，而赫歇尔图 (图 c) 则不是

但是，边不交哈密顿回路问题现在我们已经可以很容易解决，这个问题在如下的例子中给出。

例 2.3.1. 约翰得到了 $n(\geq 2)$ 种宝石，他想把这 n 种宝石串成几条 n -长的项链（每条项链中都含有每种宝石一颗），他希望你串成的每条项链都本质不同，请问他最多能串出几条项链。两条项链**本质不同**，当且仅当每种宝石相邻的宝石种类都不同。

解 我们第一步估算上界：将 n 种宝石记作 $v_0, v_1, v_2, \dots, v_{n-1}$ ，作完全图 K_n ，则此题转化为计算完全图 K_n 中边不交 H 回路计数问题；完全图中一共有 $C_n^2 = \frac{n(n-1)}{2}$ 条边，每条 H 回路长为 n ，所以至多存在 $\lceil \frac{C_n^2}{n} \rceil = \lceil \frac{n-1}{2} \rceil$ 条边不交 H 回路。

第二步可以构造一个解。

$n = 2k + 1$ 时，如下图 (Figure 2) 将 v_1, v_2, \dots, v_{2k} ，排列在一个圆上，将 v_0 放在圆心。联结 $(v_0, v_1, v_2, v_{2k}, v_3, v_{2k-1}, \dots, v_{k-1}, v_{k+3}, v_k, v_{k+2}, v_{k+1}, v_0)$ 形成一条 H 回路；删除联结线，下面将 v_1, v_2, \dots, v_{2k} 命名为顺时针下一

个点的名字，也即，将 v_{2k-1} 命名为 v_{2k} ， v_{2k} 命名为 v_1 ， v_1 命名为 v_2 ， v_2 命名为 v_3 ；重复执行联结操作，这样就得到 k 条边不交 H 回路。
 $n = 2k + 2$ 时， $2 \mid k$ 时，将 v_{2k+1} 插入 $v_{\frac{k+2}{2}}$ 和 $v_{\frac{3k+2}{2}}$ 的边中； $2 \nmid k$ 时，将 v_{2k+1} 插入 $v_{\frac{k+3}{2}}$ 和 $v_{\frac{3k+3}{2}}$ 的边中；依次就可以构造出 k 条边不交 H 回路。综上，约翰可以串出 $\lceil \frac{n-1}{2} \rceil$ 条本质不同的项链。

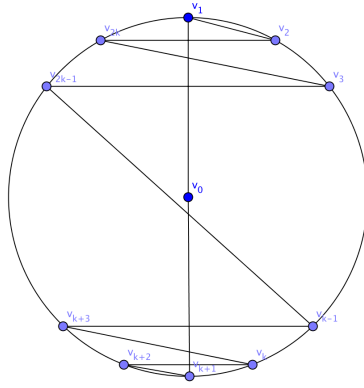


图 2.7: 一种构造方案

定理 2.3.1. $n \geq 2$ 的完全图 K_n 可以被分解成边不交哈密顿回路。

Proof. 直接参照上例即可。 □

2.4 哈密顿回路的几个重要判定定理

定理 2.4.1. 对于阶大于 3 的连通图 G ，能够满足

$$\forall x, y \in G \wedge (x, y) \notin G \Rightarrow d(x) + d(y) \geq k$$

如果 $k = n$ 那么 G 就是一个哈密顿图，而如果 $k < n$ 那么 G 中就含有一条 k -长路，以及一个长度至少为 $\frac{k+2}{2}$ 的回路。

Proof. 假设 G 不是哈密顿图，我们找到 G 中的最长道路 $P(= x_1x_2 \dots x_l)$ 。由于 P 是最长道路，所以 P 是极长道路。考虑

$$\Gamma(x_1) = \{x_j | (x_1, x_j) \in G\}, \Gamma^+(x_l) = \{x_{j+1} | (x_j, x_l) \in G\}.$$

我们可以断言这两个集合是不交的。否则就会产生回路，进而与 G 的连通性和非哈密尔顿图的性质违，这点留给读者自己证明。那么由定理中的不等式，我们有

$$k \leq d(x_1) + d(x_l) = \#\Gamma(x_1) + \#\Gamma^+(x_2) \leq l - 1 \leq n - 1.$$

$\#S$ 表示集合 S 的大小。如果 $k = n$ ，现在就已经产生了矛盾， G 是一个哈密尔顿图。如果 $k < n$ ，那么 G 中就存在一条长度为 $l - 1 = k$ 的路。如果再考虑 x_1 和 x_l 度的关系，不妨 $d(x_l) > d(x_1)$ ，也即 $d(x_l) \geq \frac{k}{2}$ ，我们就能够找到一个长度至少为 $\frac{k+2}{2}$ 的回路了。 \square

定义 2.4.1. 若 v_i 和 v_j 是简单图 G 的不相邻结点，且满足 $d(v_i) + d(v_j) \geq k$ ，那么在 G 中增加边 (v_i, v_j) ，重复这个过程，直到不再有这样的结点对为止。最终得到的图称为 G 的 k -闭包，记作 $C_k(G)$ 。

推论 2.4.1. 如果 $\delta(G) \geq \frac{n}{2}$ ，那么图 G 是哈密尔顿图。

定理 2.4.2. 图 G 是哈密尔顿图，当且仅当 $C_n(G)$ 是；图 G 有哈密尔顿路，当且仅当 $C_{n-1}(G)$ 有。

Proof. 这是**定理 0.2.1**的简单推论。 \square

下面介绍一个中国数学家范更华给出的一个充分性判定条件。

定理 2.4.3 (范更华). 对于一个 2-连通图，如果对于任意一对距离为 2 的结点 $x, y, d(x, y) = 2$ ，都有

$$\max\{d(x), d(y)\} \geq \frac{n}{2},$$

那么 G 是哈密尔顿图。

Proof. 略 \square

再介绍一个非常实用的平面图具有哈密尔顿圈的必要条件。(尽管我们还没有严谨地定义过平面图)

定理 2.4.4 (Kozyrev and Grinberg). 如果一个平面图含有哈密尔顿圈 C ，用 f_k, g_k 表示 C 内部和外部的 k 边形的数量，我们有

$$\sum_{k \geq 3} (k - 2)(f_k - g_k) = 0.$$

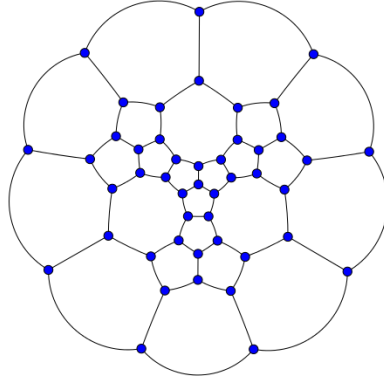


图 2.8: Grinberg 图

这个定理可以很方便地证明一类平面图的非哈密尔顿性。

例 2.4.1 (Grinberg 图). Figure 3 不含哈密尔顿回路。

Proof. Figure 3 中只有五边形、八边形和九边形。

$$3(f_5 - g_5) + 6(f_8 - g_8) + 7(f_9 - g_9) = 0.$$

所以,

$$f_9 \equiv g_9 \pmod{3}$$

而 $f_9 + g_9 = 1$, 所以不含哈密尔顿回路。 □

例 2.4.2 (Grinberg 图). Figure 3 不含哈密尔顿回路。

Proof. Figure 3 中只有五边形、八边形和九边形。

$$3(f_5 - g_5) + 6(f_8 - g_8) + 7(f_9 - g_9) = 0.$$

所以,

$$f_9 \equiv g_9 \pmod{3}$$

而 $f_9 + g_9 = 1$, 所以不含哈密尔顿回路。 □

2.5 坚韧度与哈密尔顿性

定理 2.5.1. 如果图 $G=(V, E)$ 是哈密尔顿图, 那么

$$\forall S \subset V \Rightarrow \sigma(G - S) \leq \#S,$$

这里 $\sigma(G - S)$ 表示 $G - S$ 的分支数。

Proof. 找到哈密顿回路 C , 构造图 $G' = (V', E')$, s. t.

$$V' = V \cap C, E' = E.$$

那么新图 G' 只包含这一个圈, 如果去除掉 $\#S$ 个点剩下就有最多 $\#S$ 个分支, 而原图的边更多一些,

$$\sigma(G - S) \leq \sigma(G' - S) \leq \#S$$

□

这个定理很容易证明, 然而由这个定理产生的对于哈密顿图充分条件的猜想, 却很有意思。

定义 2.5.1 (Kozyrev and Grinberg). $t = \min_{\sigma(G-S)} \frac{\#S}{\sigma(G-S)}$, 则称 G 是 t -坚韧图。

上面的定理表明: 哈密顿图一定是 1-坚韧图。

Chvatal 认为图的坚韧性和哈密顿性应当存在双向的判定关系。提出了如下的猜想。

猜想 2.5.1. 存在 t 满足任何 t -坚韧图都是哈密顿图。

他给出了 $\frac{3}{2}$ -坚韧非哈密顿图。所以推测 t 应当等于 2。因为这样的话就和 Fleischner's theorem 一致。

定理 2.5.2 (Fleischner). 如果 G 是一个 2-点连通图, 那么 G^2 是哈密顿图。其中 G^2 中两点存在边当且仅当两点在 G 中距离小于等于 2。

之后, Thomassen 发现了 $t > \frac{3}{2}$ 的非哈密顿图, Enomoto 等人发现了 $(2 - \epsilon)$ -坚韧图对任意 $\epsilon > 0$ 没有 2-因子。

定义 2.5.2. 一个 k -因子是图的一个生成 k -正则子图。

Enomoto 的这个结论说明作为哈密顿图的判定依据的坚韧度至少为 2。如果 Chvatal 的猜想成立, 那么将证明两个开放了二十余年的猜想。

猜想 2.5.2. 任意 4-连通的点边对偶图是哈密顿图。

猜想 2.5.3. 任意 4-连通的不含 $K_{1,3}$ 子图的图是哈密顿图。

近些年这两个猜想被证明是等价的。然而，人们却发现并不是每一个2-坚韧图都是哈密尔顿图。事实上，我们有如下的定理。

定理 2.5.3 (D. Bauer et al). $\forall \epsilon > 0$, 存在 $(\frac{9}{4} - \epsilon)$ -坚韧的非哈密尔顿图。

所以，关于作为哈密尔顿图的充分条件的坚韧度是否存在还是一个开放的问题。